

第二篇 能量传输

目 录

第八章 导热

§ 8-1 温度场.....	8-3
§ 8-2 导热的基本定律.....	8-6
§ 8-3 导热系数.....	8-7
§ 8-4 一维稳定态导热.....	8-10
§ 8-5 付立叶导热微分方程式.....	8-20
§ 8-6 二维稳定态导热.....	8-24
§ 8-7 图解分析法.....	8-34
§ 8-8 导热形状系数.....	8-35
§ 8-9 数值方法.....	8-37

第九章 对流传热

§ 9-1 对流传热简化模型.....	9-1
§ 9-2 对流传热系数.....	9-2
§ 9-3 层流边界层能量方程.....	9-4
§ 9-4 热边界层.....	9-6
§ 9-5 管内层流流动.....	9-16
§ 9-6 驻体温度.....	9-19
§ 9-7 管内湍流流动.....	9-22
热的涡流扩散率.....	9-24

涡流扩散率	9-25
雷诺类似	9-26
§ 9-8 因次分析和实验数据的整理	9-29
§ 9-9 强制对流传热实验关系式	9-36
柯尔本类似和 f 因子	9-40
流体横向流过单根管子	9-45
流体流过散料层	9-48

第十章 自然对流

§ 10-1 坚板上层流传热	10-14
§ 10-2 因次分析和相似转换	10-12
§ 10-3 实验关系式	10-15

第十一章 沸腾传热

§ 11-1 沸腾过程	11-1
§ 11-2 膜状沸腾	11-49
§ 11-3 泡核沸腾	11-9
§ 11-4 过渡沸腾	11-12

第十二章 辐射传热

§ 12-1 传热的两种基本型式	12-1
§ 12-2 黑体和辐射率	12-3
§ 12-3 能量分布和辐射能力	12-5
§ 12-4 灰体和吸收率	12-10

§ 12-5 两无限大平板之间的辐射热交换	12-11
§ 12-6 角度系数	12-15
§ 12-7 炉壁的作用	12-23
§ 12-8 辐射传热系数	12-27
§ 12-9 温度测量中的辐射误差	12-33
§ 12-10 气体辐射	12-35
§ 12-11 火焰炉内辐射热交换	12-44

第十三章 综合传热

§ 13-1 综合传热系数	13-1
§ 13-2 通过炉壁的热损失	13-3
§ 13-3 圆管	13-7
§ 13-4 细杆	13-8
§ 13-5 高炉碳砖炉底	13-14

第十四章 不稳定态导热

§ 14-1 瞬变导热	14-1
§ 14-2 牛顿型加热或冷却	14-1
§ 14-3 一维瞬变导热方程	14-10
§ 14-4 无限大平板(表面突然冷却)	14-12
§ 14-5 无限大平板(在恒温介质中加热)	14-15
§ 14-6 薄材和厚材加热的概念	14-27
§ 14-7 半无限大固体	14-28

§ 14-8	长时间值和短时间值的解.....	14-37
§ 14-9	数 值 方 法.....	14-43
§ 14-10	图解分析法.....	14-49
第十五章 凝固传热		
§ 15-1	砂 模.....	15-1
§ 15-2	全层板.....	15-8
§ 15-3	凝固传热积分解法.....	15-25
§ 15-4	连续铸锭传热积分解法.....	15-29
第十六章 热交换器计算原理		
§ 16-1	热 交 换 器.....	16-1
§ 16-2	基 本 方 程 式.....	16-2
§ 16-3	热 交 换 器 效 能.....	16-5
§ 16-4	气 体 - 固 体 料 块 逆 流 换 热.....	16-8
§ 16-5	蓄 热 室.....	16-12
§ 16-6	填 充 床.....	16-18

第十六章 热交换器设计原理

16-1 热交换器

热交换器是热器内从一流体传给另一流体的装置。按广义地分类，可以把热交换器分成换热式热交换器（换热器）和蓄热式热交换器。

换热器是在器内同时有两种流体流过的连续式热交换器，这两种流体被分隔壁隔开，热器是通过分隔壁从热流体流至冷流体的。按制造材料的不同，换热器有金属的和陶瓷的两种。从能量传递的观点看，换热器内传热过程的特征为变温介质稳定态综合传热。

蓄热或热交换则含有蓄热元件，该元件从热流体吸收热量，并将此热量传给冷流体。这种热交换器有二种形式：

- (1) 蓄热元件移动，流体作连续流动；
- (2) 蓄热元件固定，流体作间歇流动。

大部分冶金上的蓄热式热交换器属于后一种，它主要是由装有格子砖的蓄热室，热流体（通常是由烟气或燃烧产物）和冷流体（通常是由空气或其他待予热的气体）交替地流过同一个蓄热室和其内同一固体蓄热通道，因此工作是周期性的。一般说来，热烟气从蓄热室的上部引入和向下流动，而冷空气则从蓄热室的下部引入并向上流动，所以在一个周期中，从加热期变换为冷却期，就叫做换向或换炉。蓄热室中的固体蓄热通道或其他形式的蓄热元件，必须有足够的热容量，以便储存起从热烟气接受到的热量；当冷空气流经蓄热室时，它把这热量传给冷空气。为了连续不断地得到予热空气，通常需要一对蓄热室，使得在任何时候，一个蓄热室为热烟气所加热，而另一个蓄热室则为冷空气所冷却。两次换向的间隔时间约为几分钟至一小时，视蓄热室的大小和工作性质而定。

由于蓄热室工作的周期性质，于流空气的温度、烟气温度和格子砖温度在工作周期中都发生变化。从能量传热的观点看，蓄热室内传热过程是以变温介质不稳定态综合传热为特征的。

高炉用来自热鼓风的热风炉（包括考贝式热风炉和球形热风炉）可以看成是特殊形式的蓄热式热交换器。高炉煤气提供的热量，不是它的显热，这几乎可以忽略不计；而是燃烧其中的CO和其他可燃成分产生热量的。这样，热风炉作为燃烧室和蓄热室两用。

从单纯的热交换的观点看，甚至立炉、化铁炉、球团焙烧窑、带式烧结机等，也可看作为各种各样的热交换器，不过其中一种流体不是真正的流体，而是固体颗粒流或料块流罢了。

在随后几节的讨论中，以角码 h 和 c 分别表示热流体和冷流体，以上标 I 和 O 分别表示进口处和出口处。对于固体料块和填充床中的固体颗粒或石球，假定它们是作牛顿型加热或冷却（§14-2）的。

§16-2 基本方程式

在讨论热交换器热流的计算以前，先讨论连续式热交换过程的基本原理。为此，考虑一个如图(16-1)所示的连续的逆流换热式热交换器，里边有两流体在两个平行的通边中通过，但其流动方向相反，此时热量从热流体通过分隔壁流至冷流体。图中并绘制了当沿着通边流动时两种流体的温度。

在§13-1讨论两种毛体或液体之间的热交换问题时，曾假定沿在壁凸的两侧，流体的温度均为恒定不变，这一总传热过程的特点属于变温介质、稳定态综合传热。热交换器与此不同，当两种流体沿壁凸流过时，由于热交换的结果，它们的温度是变化的。这一总传热过程的特点属于变温介质、稳定态综合传热。所以，只有在无限小的凸积微元 dA 上才能应用式(13-2)，即

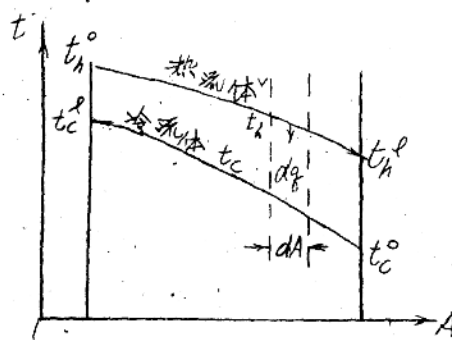
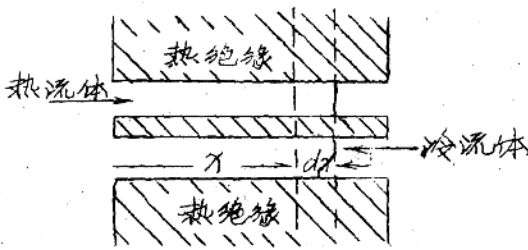


图 16-1 逆流式换热器示意图
及其温度分布线

流体的水当量或热容量。同样地，由于热交换的缘故，冷流体要热而温度升至 dt_c ，其吸收的热量为

$$d\dot{Q} = -m_c C_c dt_c$$

应注意式中的负号为逆流式热交换器中，温度亦随 x 方向而降低。假定为绝热过程，则

$$d\dot{Q} = -m_h C_h dt_h = -m_c C_c dt_c \quad (16-2)$$

这就是热交换器局部热平衡方程。

有关热交换器传热问题的研究，常从式(16-1)和式(16-2)入手，它们是热交换器的基本方程式。下面，我们利用这两个方程式求热交换器的热流率。

由式(16-2)，

$$d\dot{Q} = U dA \Delta t$$

$$\text{或 } U dA (t_h - t_c)$$

... (16-1)

这就是热交换器传热微分式或局部传热方程。

由于热交换的缘故，热流体冷却，其温度降低 dt_h 。由此，在面积微元上存在着关系式：

$$d\dot{Q} = -m_h C_h dt_h$$

即热流体流过面积微元时所失去的热量等于其质量流量 m 、比热 C 和温度差三者的乘积。 m_c 代表质量流量为 m 时

$$dt_h = -\frac{dg}{m_h C_h}$$

$$dt_c = -\frac{dg}{m_c C_c}$$

故

$$dt_h - dt_c = d(t_h - t_c) = -dg \left(\frac{1}{m_h C_h} - \frac{1}{m_c C_c} \right)$$

$$dg = -\frac{d(t_h - t_c)}{\frac{1}{m_h C_h} - \frac{1}{m_c C_c}} \quad (16-3)$$

联立式(16-1)和式(16-3), 得

$$\frac{d(t_h - t_c)}{t_h - t_c} = -U \left(\frac{1}{m_h C_h} - \frac{1}{m_c C_c} \right) dA$$

假定传热系数 U 和流体的比热为常数, 沿轴向受热面积分, 并考虑到边界条件:

$$\text{在 } A=0 \text{ 处, } t_h - t_c = t_h^o - t_c^o,$$

$$\text{在 } A=A \text{ 处, } t_h - t_c = t_h^f - t_c^o$$

得到

$$\ln \frac{t_h^f - t_c^o}{t_h^o - t_c^o} = -UA \left(\frac{1}{m_h C_h} - \frac{1}{m_c C_c} \right) \quad (16-4)$$

回到式(16-2), 其中 $m_h C_h$ 和 $m_c C_c$ 又可用总热流 g 和热冷两流体的总温度差来表示:

$$g = m_h C_h (t_h^o - t_h^f) = m_c C_c (t_c^f - t_c^o) \quad (16-5)$$

这就是热交换器的总热平衡方程式, 由此

$$m_h C_h = \frac{g}{t_h^o - t_h^f}$$

$$m_c C_c = \frac{g}{t_c^f - t_c^o}$$

代入式(16-4), 最后得到

$$\dot{Q} = UA \frac{(t_h^o - t_c^l) - (t_h^l - t_c^o)}{\ln \frac{t_h^o - t_c^l}{t_h^l - t_c^o}} \quad (16-6)$$

与式(13-2)比较,可知温度差为

$$\Delta t_m = \frac{(t_h^o - t_c^o) - (t_h^l - t_c^l)}{\ln \frac{t_h^o - t_c^o}{t_h^l - t_c^l}} \quad (16-6a)$$

这个温度差称为对数平均温度差,它是热交换器一端的温度差减去热交换器另一端的温度差,再除以这两端温度差的比值的自然对数而得到的数值。

§16-3 热交换效能

当进口和出口温度为已知或易于测定时,对数平均温差法(式16-6)对于求解热交换器问题很有用的。由此求出对数平均温度差,然后计算热流、受热面或传热系数。但当进口温度或出口温度为未知时,用这种对数平均温差法就很不方便。在这种情形,利用基于所谓的热交换器效能这一参数的计算方法,求解问题就容易很多。所以在设计计算中经常使用这种方法。

热交换器效能是按如下方式定义的:

$$\epsilon = \frac{\text{实际传热系数}}{\text{最大可能的传热系数}}$$

实际传热系数可由计算热流体失去的能量而得到,也可由计算冷流体得到的能量而得到。对于图(16-1)所示的逆流式热交换器,其实际传热系数为

$$\dot{Q} = m_h C_h (t_h^o - t_h^l) = m_c C_c (t_c^l - t_c^o) \quad (16-5)$$

要计算热交换器最大可能的传热系数,应首先认识到,这个最大值只有在其中一种流体的温度变化等于热交换器存在的最大温差,亦即等于热流体和冷流体的进口温度差时才有可能达到。其次,要认

识到，温度变化最大的流体，其 m_C 值为最小，这是因为式(16-5)中的能量平衡，要求一种流体所接受的能量大于另一种流体所放出的能量；而如果具有较大 m_C 值的流体有着最大温度差，则势必要求另一流体的温度变化于最大值，这显然是不可能的。因此，
最大可能的传热率为

$$\dot{Q}_{\text{最大}} = (m_C)_{\text{最小}} (t_h^{\circ} - t_c^{\circ}) \quad (16-7)$$

m_C 值最小的流体可以是热流体也可以是冷流体，视其质量流量和比热的大小而定。对于逆流式热交换器，若热流体具有最小 m_C 值，则

$$\epsilon_h = \frac{m_h C_h (t_h^{\circ} - t_h^{\ell})}{m_h C_h (t_h^{\circ} - t_c^{\circ})} = \frac{t_h^{\circ} - t_h^{\ell}}{t_h^{\circ} - t_c^{\circ}} \quad \dots \dots (16-8a)$$

若冷流体具有最小 m_C 值，则

$$\epsilon_c = \frac{m_c C_c (t_c^{\ell} - t_c^{\circ})}{m_c C_c (t_h^{\circ} - t_c^{\circ})} = \frac{t_c^{\ell} - t_c^{\circ}}{t_h^{\circ} - t_c^{\circ}} \quad (16-8b)$$

下面，我们来推导逆流式热交换器效能的数学表达式。先重新
写出式(16-4)，

$$\ln \frac{t_h^{\ell} - t_c^{\circ}}{t_h^{\circ} - t_c^{\ell}} = -UA \left(\frac{1}{m_h C_h} - \frac{1}{m_c C_c} \right) = -\frac{UA}{m_h C_h} \left(1 - \frac{m_h C_h}{m_c C_c} \right)$$

或

$$\frac{t_h^{\ell} - t_c^{\circ}}{t_h^{\circ} - t_c^{\ell}} = e^{-\frac{UA}{m_h C_h} \left(1 - \frac{m_h C_h}{m_c C_c} \right)} \quad \dots \dots (16-4a)$$

若热流体是最小 m_C 值流体，

$$\epsilon = \frac{t_h^{\circ} - t_h^{\ell}}{t_h^{\circ} - t_c^{\ell}}$$

将式(16-5)中的 t_c^{ℓ}

$$t_c^{\ell} = t_c^{\circ} + \frac{m_h C_h}{m_c C_c} (t_h^{\circ} - t_h^{\ell})$$

16-7

代入式(16-4a), 得

$$\frac{t_h^{\ell} - t_c^{\circ}}{t_h^{\circ} - t_c^{\circ} - \frac{m_h C_h}{m_c C_c} (t_h^{\circ} - t_h^{\ell})} = e^{-\frac{UA}{m_h C_h} \left(1 - \frac{m_h C_h}{m_c C_c}\right)}$$

以1减两边, 得

$$\frac{(t_h^{\circ} - t_h^{\ell}) - \frac{m_h C_h}{m_c C_c} (t_h^{\circ} - t_h^{\ell})}{(t_h^{\circ} - t_c^{\circ}) - \frac{m_h C_h}{m_c C_c} (t_h^{\circ} - t_h^{\ell})} = 1 - e^{-\frac{UA}{m_h C_h} \left(1 - \frac{m_h C_h}{m_c C_c}\right)}$$

整理后, 然将得到

$$\epsilon_h = \frac{t_h^{\circ} - t_h^{\ell}}{t_h^{\circ} - t_c^{\circ}} = \frac{1 - e^{-\frac{UA}{m_h C_h} \left(1 - \frac{m_h C_h}{m_c C_c}\right)}}{1 - \frac{m_h C_h}{m_c C_c} e^{-\frac{UA}{m_h C_h} \left(1 - \frac{m_h C_h}{m_c C_c}\right)}} \quad (16-9)$$

这就是用已知参数表示逆流式热交换器效能的方程式。若冷流体是最小 $m_c C_c$ 值的流体, 不难重写上述计算。计算的结果表明, 除了 $m_h C_h$ 和 $m_c C_c$ 互换以外, 表达式完全相同。所以, 通常将逆流式热交换器效能的关系式表示如下:

$$\epsilon = \frac{1 - e^{-\frac{UA}{W_{\text{小}}} \left(1 - \frac{W_{\text{大}}}{W_{\text{小}}}\right)}}{1 - \frac{W_{\text{大}}}{W_{\text{小}}} e^{-\frac{UA}{W_{\text{小}}} \left(1 - \frac{W_{\text{大}}}{W_{\text{小}}}\right)}} \quad (16-10)$$

其中 $W = m_c$ 为水当量。 $UA/W_{\text{小}}$ 亦称传热单系数, 它是一个可用来指示热交换器大小的无因次参数。

顺便补充一点。对冷流体而言的热交换器效能(式16-8b), 其表达式也可从总热平衡式(式16-5)和式(16-9)直接导出。因为

$$t_c^{\ell} - t_c^{\circ} = \frac{m_h C_h}{m_c M_c} (t_h^{\circ} - t_h^{\ell}) = \frac{m_h C_h}{m_c C_c} \epsilon_h (t_h^{\circ} - t_c^{\circ})$$

$$\text{或 } \frac{t_c^{\ell} - t_c^{\circ}}{t_h^{\circ} - t_h^{\ell}} = \frac{m_h C_h}{m_c C_c} \epsilon_h$$

将式(16-9)代入, 得到

$$C_C = \frac{t_c^f - t_c^o}{t_h^o - t_c^o} = \frac{m_h C_h}{m_c C_c} \frac{1 - e^{-\frac{VA}{m_h C_h} (1 - \frac{m_h C_h}{m_c C_c})}}{1 - \frac{m_h C_h}{m_c C_c} e^{-\frac{VA}{m_h C_h} (1 - \frac{m_h C_h}{m_c C_c})}} \quad \dots \dots (16-11)$$

以1减两端, 还可得到

$$\frac{t_c^f - t_h^o}{t_c^o - t_h^o} = \frac{1 - \frac{m_h C_h}{m_c C_c}}{1 - \frac{m_h C_h}{m_c C_c} e^{-\frac{VA}{m_h C_h} (1 - \frac{m_h C_h}{m_c C_c})}} \dots \dots (16-12)$$

§16-4 气体固体料块的逆流换热

在冶金工业, 常常在操作上令气体和固体料块在通道中沿相反的方向行进, 使气体和料块之间进行热交换, 结果气体被冷却而料块被加热, 或者反之。例如在烧结球团矿的竖炉中, 球团矿从竖炉的上部加入, 对着上升的热气流而下降。于是气体加热了固体球团, 为球团的烧结和增加强度提供所需的温度和时间。假若过程稳定, 则可用前两节的方法求出气体和料块的温度分布线。

图(16-2)为最简单的逆流换热状况。我们来推导实现一完整

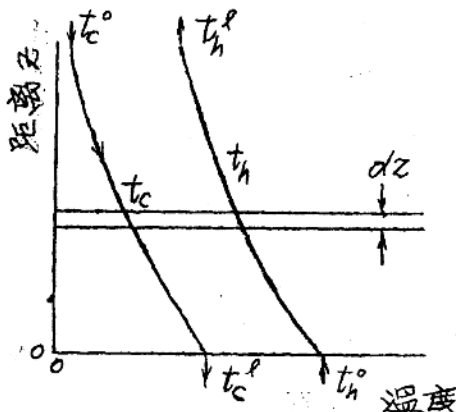


图 16-2
料块逆流换热
的分析

16-2

之以表示新的料床厚度。考虑如图(16-2)中所示的厚度为 dz 的微元料床，料床的断面积为单位面积。在微元料床内，热气体失去的热量为

$$df = -W_h dt_h$$

而冷料球得到了同样的热量

$$df = -W_c dt_c$$

这是假定过程为绝热过程，而且忽略不计料床内部导热和料球内部的温度梯度值的结果。

也可以说，传热率为

$$df = hS(t_h - t_c) dz$$

式中： h — 综合传热系数，大卡/米²·时·℃。

S — 料床比热（即单位体积料床的料球总表面积），米²/米³。

将以上三式联立求解，得

$$d(t_h - t_c) = -df \left(\frac{1}{W_h} - \frac{1}{W_c} \right) = -hS(t_h - t_c) \left(\frac{1}{W_h} - \frac{1}{W_c} \right) dz$$

或

$$\frac{d(t_h - t_c)}{t_h - t_c} = -hS \left(\frac{1}{W_h} - \frac{1}{W_c} \right) dz$$

积分之，并注意到

$$在 z=0 处, t_h - t_c = t_h^0 - t_c^0$$

则最后得到

$$\ln \frac{t_h - t_c}{t_h^0 - t_c^0} = -hS z \left(\frac{1}{W_h} - \frac{1}{W_c} \right) \quad (16-13)$$

由式(16-13)可知，若已知冷料球的进口温度 t_c^0 ，连同已知 t_h^0 和 t_c^0 ，则可求出一给定的料床厚度($z=H$)下的气流出口温度 t_h^0 。反之，若已知气流体和冷料球的进出口温度，则可求出所需的料床厚度，因 z

$$\ln \frac{t_h^l - t_c^o}{t_h^o - t_c^l} = -hsH \left(\frac{1}{W_h} - \frac{1}{W_c} \right)$$

$$\therefore H = \ln \frac{(t_h^l - t_c^o)}{(t_h^o - t_c^l)} / hs \left(\frac{1}{W_h} - \frac{1}{W_c} \right) \quad (16-14)$$

这是一个对于设计竖炉很有用的关系式。

但是，也有这样的情形，我们需要知道气体和料球的温度分布线，以便知道有多少的料球超过规定的温度。为了得到这两根温度分布线，应用式(16-13)并把它写成

$$(t_h - t_c)|_z = (t_h^o - t_c^l) e^{-hsz \left(\frac{1}{W_h} - \frac{1}{W_c} \right)}$$

上式给出的是在任何高度 z 上的局部温度差。然而，由进口和料床内任一点之间的热平衡，得

$$W_h [t_h^o - t_h(z)] = W_c [t_c^l - t_c(z)]$$

应用以上两个方程式，并注意到

$$\text{在 } z=H \text{ 处, } t_h = t_h^l$$

则得到热流体在离进口无高度上的温度：

$$t_h(z) = t_h^o - (t_h^o - t_c^o) \frac{1 - e^{-\frac{hs}{W_h} (1 - \frac{W_h}{W_c}) z}}{1 - \frac{W_h}{W_c} e^{-\frac{hs}{W_h} (1 - \frac{W_h}{W_c}) H}} \dots \dots \dots (16-15)$$

同样地，冷料球的局部温度为

$$t_c(z) = t_c^l - (t_h^o - t_c^o) \frac{\frac{1 - \frac{W_h}{W_c} e^{-\frac{hs}{W_h} (1 - \frac{W_h}{W_c}) z}}{1 - \frac{W_h}{W_c} e^{-\frac{hs}{W_h} (1 - \frac{W_h}{W_c}) H}}}{1 - \frac{W_h}{W_c} e^{-\frac{hs}{W_h} (1 - \frac{W_h}{W_c}) H}} \dots \dots \dots (16-16)$$

上面两个方程式也可写成：

16-11

$$t_h^l = t_h^o - (t_h^o - t_c^o) \frac{W_c}{W_h} \left[1 - \frac{1 - \frac{W_h}{W_c}}{1 - \frac{W_h}{W_c} e^{- \frac{h_s}{W_h} (1 - \frac{W_h}{W_c}) H}} \right] \quad \dots \dots \dots (16-17)$$

$$t_c^l = t_h^o - (t_h^o - t_c^o) \left\{ \frac{\frac{1 - \frac{W_h}{W_c}}{1 - \frac{W_h}{W_c} e^{- \frac{h_s}{W_h} (1 - \frac{W_h}{W_c}) H}}}{1 - \frac{W_h}{W_c} e^{- \frac{h_s}{W_h} (1 - \frac{W_h}{W_c}) H}} \right\} \quad (16-18)$$

式(16-17)对于求热气体的出口温度，式(16-18)对于冷料球的出口温度，也是有用的。

例：电弧炉熔化钢共提高生产率的一种办法，就是先将废钢料予加热。通常将废钢料温度升至到 650°C 。若将该温下的废钢料从顶部装入炉而由底部排出，予热至 820°C 的规则从底部倒入。试计算该炉应有的厚度。

已知数据：

$$S = 66 \text{ 米}^2/\text{米}^3$$

$$h = 88 \text{ 大卡}/\text{米}^2 \cdot \text{时} \cdot {}^{\circ}\text{C}$$

$$W_c(\text{固体}) = 2930 \text{ 大卡}/\text{米}^2 \cdot \text{时} \cdot {}^{\circ}\text{C} = W_s$$

$$W_h(\text{气休}) = 3510 \text{ 大卡}/\text{米}^2 \cdot \text{时} \cdot {}^{\circ}\text{C} = W_g$$

解：根据式(16-14)，除气休出口温度外，其他数据均已具备。因 $W_s(t_s^l - t_s^o)$ 为废钢料吸收的热量(大卡/ $\text{米}^2 \cdot \text{时}$)，气休放出的热量 $W_g(t_g^o - t_g^l)$ 应等于这一数值，即

$$3510(820 - t_g^l) = 2930(650 - 20)$$

$$\therefore t_g^l = 294^{\circ}\text{C}$$

现在应用式(16-14)，得到

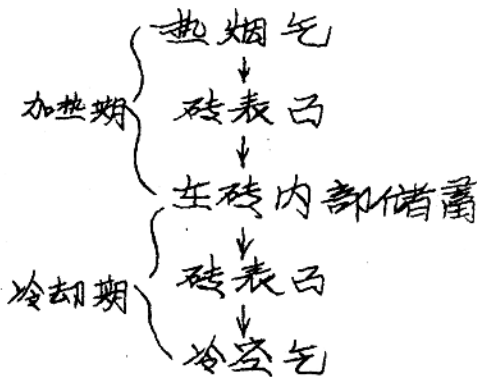
$$H = 2.303 \log \left(\frac{(294 - 20)}{20 - 650} \right) / (88)(66) \left(\frac{1}{2930} - \frac{1}{3510} \right) = 1.45 \text{ 米}.$$

§16-5 蓄热室

前已述及，蓄热室是属于不稳态传热系统，在其内气体温度和蓄热元件温度不但随位置的不同而变化，而且随着时间而发生改变。所以本章前几节所述的稳定热流关系式严格说来不能适用。但是，若根据不稳态传热的理论，来精确计算这种热交换口，则是极其困难和麻烦的；即使要得到工程上能用的关系式也需要采取一些折衷办法，实际上设计蓄热室所用的计算方法通常是借某些假定加以简化后得到的。

有关这种热交换口的一种计算方法，就是把蓄热室当作换热口来处理。这种方法虽然不适用于精确计算，亦不能清楚地阐明蓄热室设计和操作的某些重要的方面；但是，它毕竟能够为粗略估算所需要的蓄热室大小提供根据，而且能够表明几个重要的参数如何影响设计和操作。因此，我们首先来讨论这一方法。

在蓄热室，主要的热流路径是



这是一种不稳态热流，因为气体温度、砖表凸和砖内温度以及热流率都随时间和位置而连续地发生改变。实际上，热流路径中的加热和冷却部分发生不同的时间，在某些操作条件下甚至相隔一个半小时。尽管如此，仍然把这种热流路径看成与连续的换热口的热流

路径相类似，即

热烟气 \rightarrow 砖表面 \rightarrow 通过砖的导热 \rightarrow 砖表面 \rightarrow 冷空气，

同时又把变化的温度作为时间平均值去处理，以消除时间这一独立参数。凭着这个类似，蓄热室中砖表面在加热期的平均温度等于在冷却期的平均温度；这相当于换热田中通过分隔壁的温度差。还有，热流入和流过格子砖的热阻流相当于通过热田分隔壁的热阻。利用这个类似，蓄热室的总传热系数可用类似于式(16-2a)的方程式来表示：

$$U = \frac{1}{\frac{1}{h_1} + \left(\frac{\Delta X}{R}\right)_{\text{当}} + \frac{1}{h_2}} \quad (16-19)$$

其中 h_1 和 h_2 为加热期热流体对砖表面的综合传热系数和冷却期砖表面对冷流体的综合传热系数， $(\Delta X/R)_{\text{当}}$ 为相当于换热田分隔壁的格子砖热阻。用这一总传热系数，蓄热室的平均传热量可用式(16-6)来表示。

$$\dot{Q} = UA\Delta t_m \quad (16-20)$$

其中 Δt_m 为按照式(16-6a)并利用冷热流体的进口温度求出的对数平均温度差。而且，对于在 §16-3 所述的公式也适用。不过，在这里应注意上式给出的是加热期自热流体至砖和冷却期自砖至冷流体的平均传热率，所以在一个蓄热室的全周期，从热流体至冷流体的总传热率应为 $\dot{Q}/2$ (大卡/时)。

豪森曾经提出过一种可以用来确定当量热阻 $(\Delta X/R)_{\text{当}}$ 或总传热系数 U 的方法，推导过程很简短。下面，我们就来说明这种方法。考虑除进口和出口的端以外的蓄热室一个核砖凸，在这一砖凸上表面流动为层流。设 $(16-3a)$ 为在这一核砖凸上气体温度